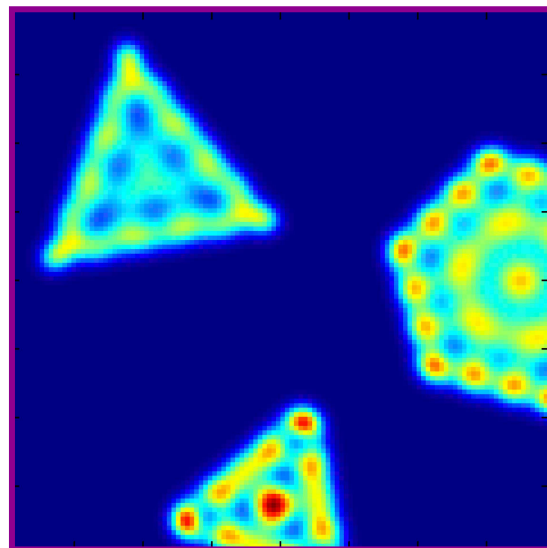


COURS ETPMSE

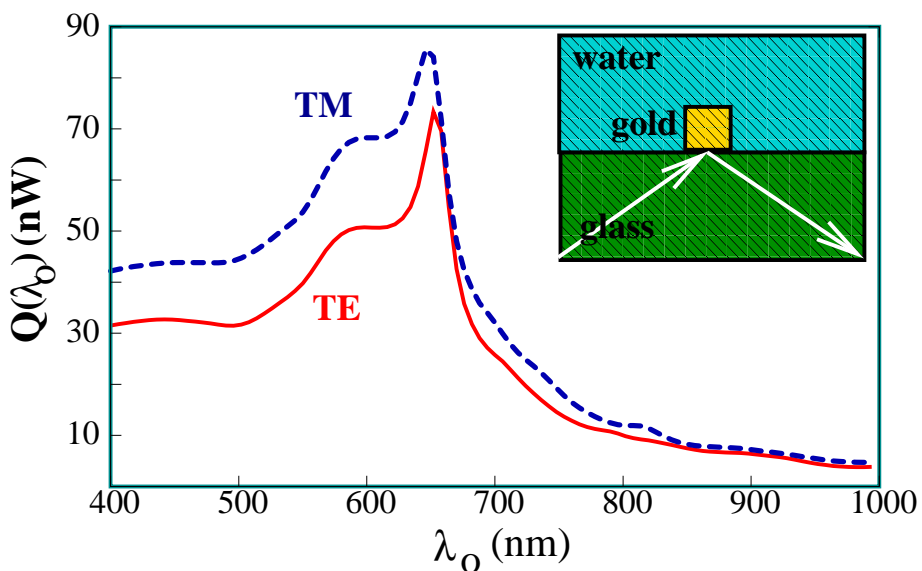
**Structures Modales
et Dépôt de Chaleur dans les
Systèmes Plasmoniques**

**Christian Girard
Groupe NeO, CEMES/CNRS, 29 rue Jeanne Marvig
31055 Toulouse, Cedex 4**



**PLASMONS, DISSIPATION
ET EFFETS THERMIQUES : GENERALITES¹**

PRINCIPLE



dissipated power/volume

local near-field

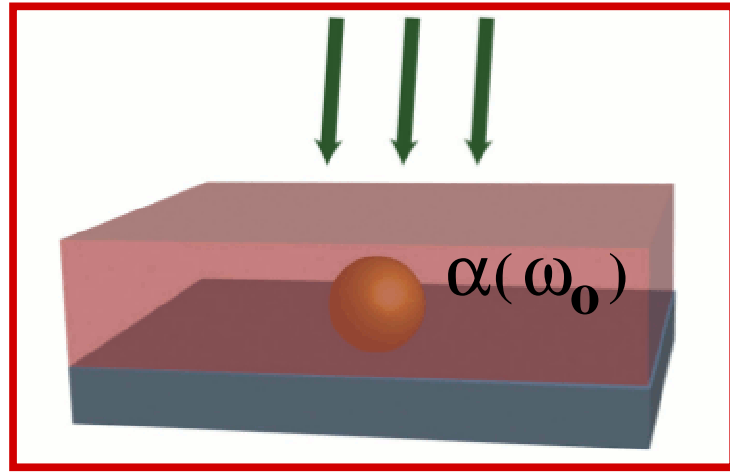
$$Q(r, \lambda_0) = \frac{2\pi}{\lambda_0} P_0 \epsilon'(\lambda_0) |E(r, \lambda_0)|^2$$

**laser
power**

**imaginary part
permittivity**

¹Shaping and Manipulation of Light Fields with Bottom-up Plasmonic Structures, *New Journal of Physics*, **10**, 105016-22 (2008), CHRISTIAN GIRARD, ERIK DUJARDIN, GUILLAUME BAFFOU, AND ROMAIN QUIDANT

CAS D'UNE PARTICULE SPHERIQUE ECLAIREE PAR UNE ONDE PLANE

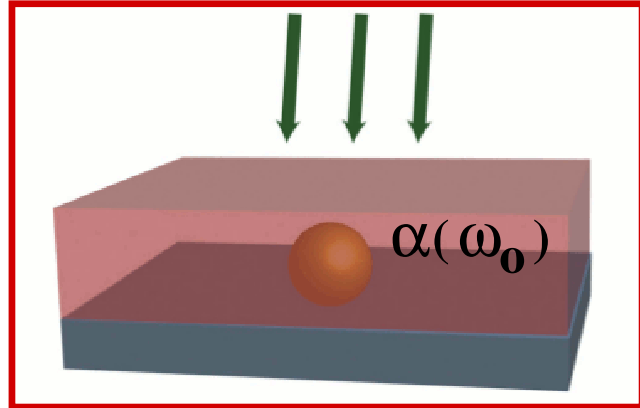


Champ électrique incident

$$\mathbf{E}_0(\mathbf{r}, t) = \frac{1}{2} \{ \mathbf{E}_0(\mathbf{r}, \omega_0) \exp(i\omega_0 t) + C.C. \} , \quad (1)$$

$\mathbf{E}_0(\mathbf{r}, \omega_0)$ (avec $\mathbf{r} = (x, y, z)$) est l'amplitude de Fourier :

$$\mathbf{E}_0(\mathbf{r}, \omega_0) = \mathbf{E}_0 [\exp(-in_1 k_0 z) + R \exp(in_1 k_0 z)] , \quad (2)$$



**Champ électrique local à l'endroit de la particule
Couplage avec la surface**

$$\mathbf{E}_l(\mathbf{R}_0, \omega_0) = \mathcal{A}(\mathbf{R}_0, \omega_0) \cdot \mathbf{E}_0(\mathbf{R}_0, \omega_0) \quad (3)$$

avec

$$\mathcal{A}(\mathbf{R}_0, \omega_0) = \begin{pmatrix} \frac{8R_0^3}{8R_0^3 - \alpha(\omega_0)\Delta} & 0 & 0 \\ 0 & \frac{8R_0^3}{8R_0^3 - \alpha(\omega_0)\Delta} & 0 \\ 0 & 0 & \frac{4R_0^3}{4R_0^3 - \alpha(\omega_0)\Delta} \end{pmatrix} \quad (4)$$

$$\text{ou } \Delta = (\epsilon_s - \epsilon_{env}) / (\epsilon_s + \epsilon_{env})$$

Chaleur dissipée par la particule de métal

$$\mathcal{Q}(\mathbf{R}_0) = \frac{1}{4\pi} \int_{v_{part}} d\mathbf{r} < \mathbf{E}_l(\mathbf{r}, t) \cdot \frac{\partial}{\partial t} \mathbf{D}_l(\mathbf{r}, t) > \quad (5)$$



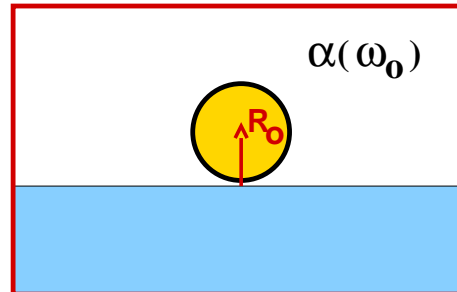
$$\begin{aligned} \mathcal{Q}(\mathbf{R}_0) = & \frac{1}{16\pi} \int_{v_{part}} i\omega_0 \{ \mathbf{E}_l(\mathbf{r}, \omega_0) \cdot \mathbf{D}_l^*(\mathbf{r}, \omega_0) \\ & - \mathbf{E}_l^*(\mathbf{r}, \omega_0) \cdot \mathbf{D}_l(\mathbf{r}, \omega_0) \} d\mathbf{r} \end{aligned} \quad (6)$$

Relation constitutive :

$$\mathbf{D}_l(\mathbf{r}, \omega_0) = \epsilon(\omega_0) \mathbf{E}_l(\mathbf{r}, \omega_0)$$

Pour une seule nanoparticule :

$$\epsilon(\omega_0) = 1 + 4\pi\alpha(\omega_0)\delta(\mathbf{r} - \mathbf{R}_0)$$



Puissance dissipée par la particule de métal

$$\mathcal{Q} = \frac{E_0^2 \omega_0}{2} \{\Im \alpha(\omega_0)\} \quad (7)$$

**relation entre puissance laser et intensité
du champ électrique**

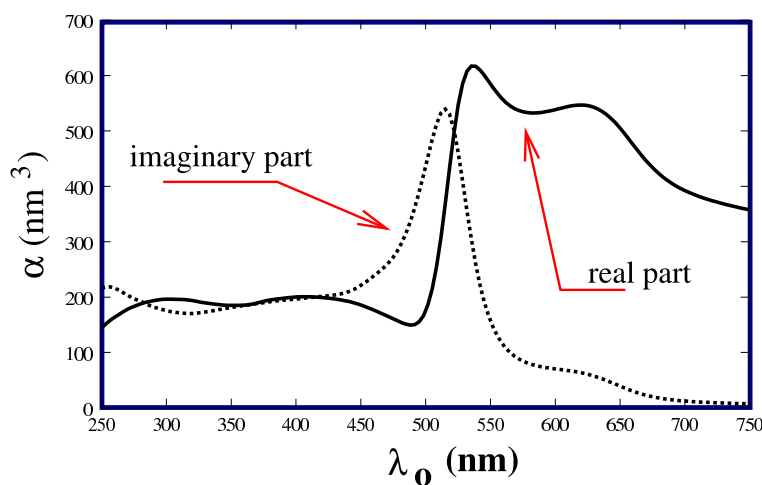
$$E_0^2 = \frac{8\pi S_0}{c}, \quad (8)$$



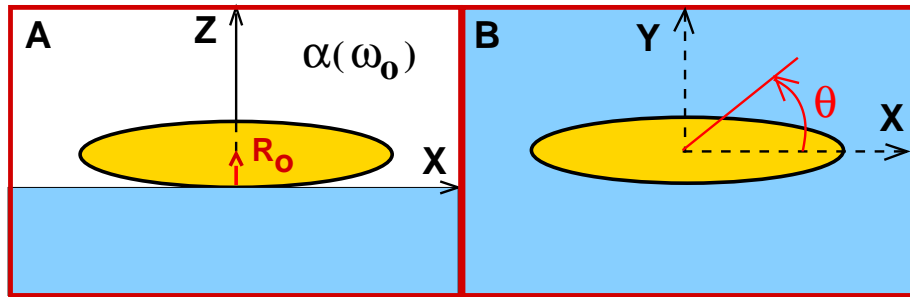
$$\mathcal{Q} = 4\pi S_0 k_0 \{\Im \alpha(\omega_0)\} \quad (9)$$

A comparer avec la section transverse d'extinction :

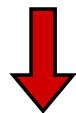
$$I_{ext}(\lambda_0) = \frac{8\pi^2}{\lambda_0} \Im \{\alpha(\omega_0)\} \quad (10)$$



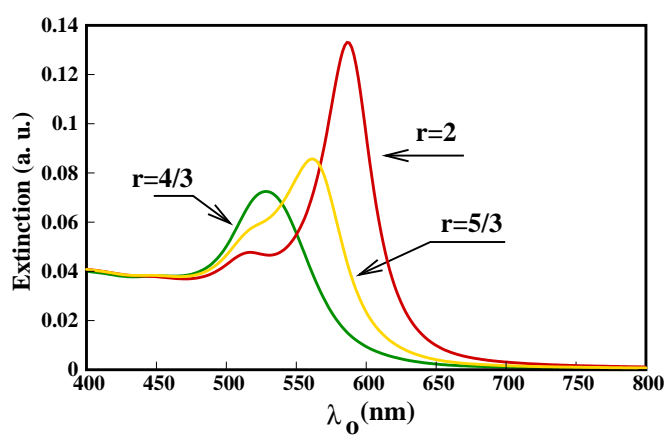
PARTICULES DE FORME ALONGÉE ELLIPSOIDES, BATONNETS

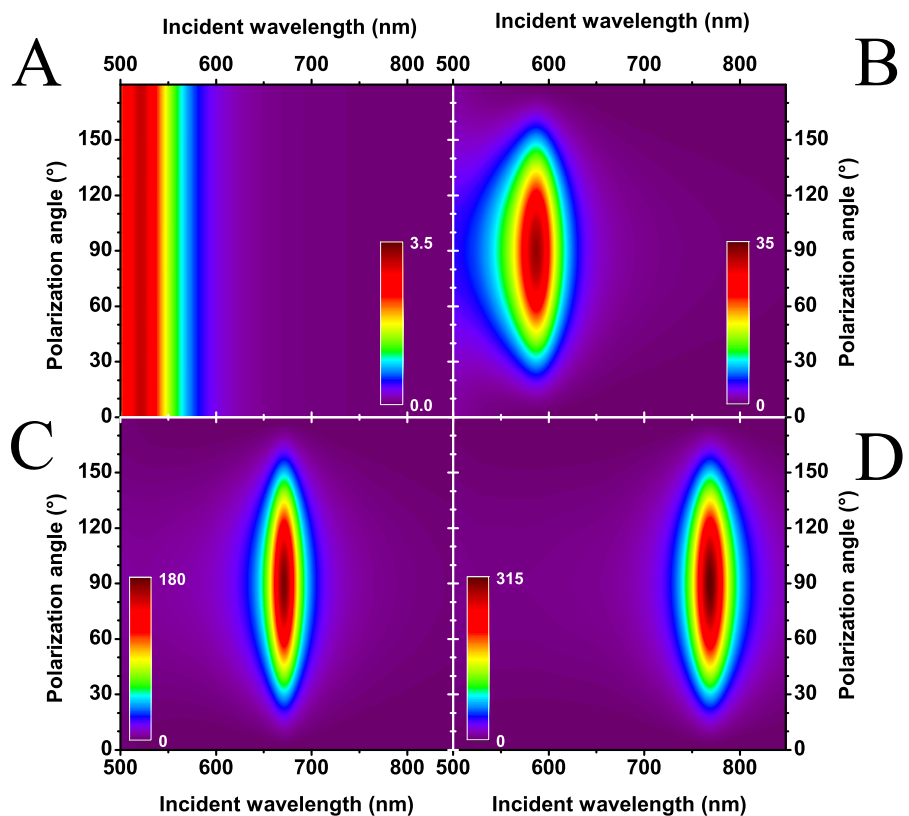
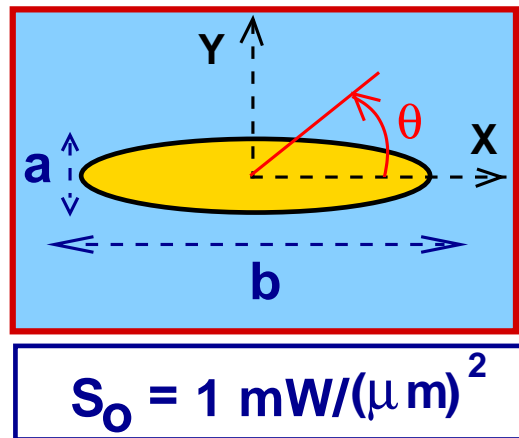


$$\alpha(\omega_0) = \begin{pmatrix} \alpha_{\parallel}(\omega_0) & 0 & 0 \\ 0 & \alpha_{\perp}(\omega_0) & 0 \\ 0 & 0 & \alpha_{\perp}(\omega_0) \end{pmatrix} \quad (11)$$



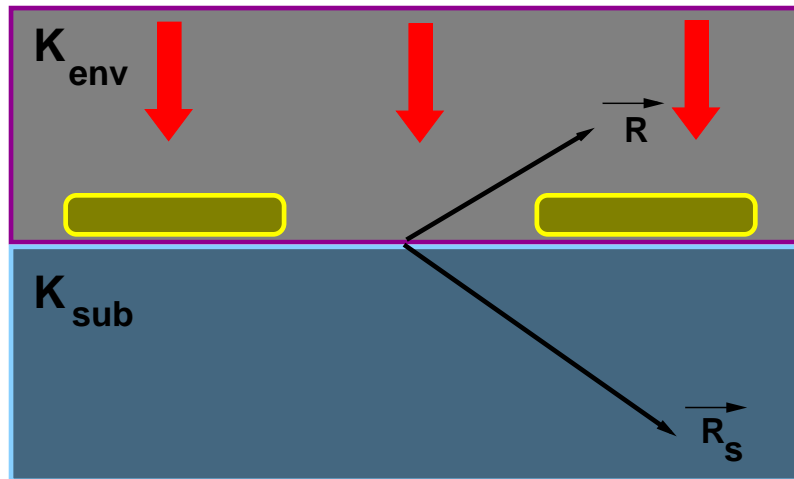
$$\mathcal{Q}(\omega_0, \theta) = 4\pi S_0 k_0 \{ \Im \alpha_{\parallel}(\omega_0) \cos^2(\theta) + \Im \alpha_{\perp}(\omega_0) \sin^2(\theta) \}$$





Chaleur déposée en fonction de la longueur d'onde et de la polarisation θ :
 (A) Sphère , (B), (C) et (D) sont des ellipsoïdes

VARIATION DE LA TEMPERATURE EN REGIME STATIONNAIRE



Dans le demi-espace supérieur

$$\delta T(\mathbf{R}) = \frac{1}{4\pi\kappa_{env}} \sum_{j=1}^n Q(\mathbf{r}_j) \left\{ \frac{1}{|\mathbf{R}-\mathbf{r}_j|} + \frac{\kappa_{sub}-\kappa_{env}}{\kappa_{sub}+\kappa_{env}} \frac{1}{|\mathbf{R}-\mathbf{r}'_j|} \right\}$$

κ_{sub} et κ_{env} sont les conductivités thermiques des 2 demi-espaces.

$\mathbf{r}'_j = (x_j, y_j, -z_j)$ est la position *image* de \mathbf{r}_j .

Dans le substrat nous avons une relation similaire :

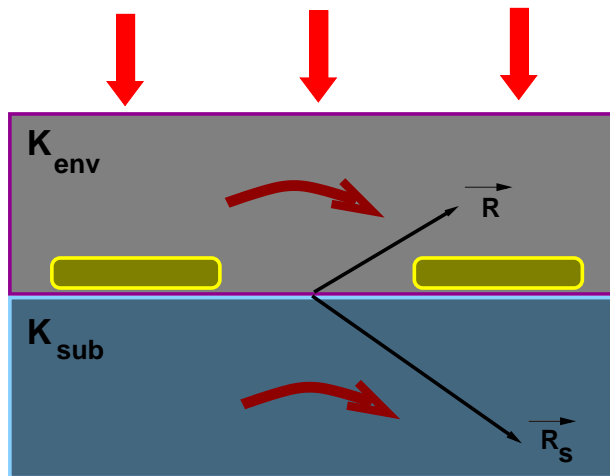
$$\delta T(\mathbf{R}_{sub}) = \frac{1}{4\pi\kappa_{sub}} \sum_{j=1}^n Q(\mathbf{r}_j) \left\{ \frac{2\kappa_{sub}}{\kappa_{sub} + \kappa_{env}} \frac{1}{|\mathbf{R}_{sub} - \mathbf{r}_j|} \right\}$$

Flux de chaleur induits dans chaque milieu :

$$\Phi(\mathbf{R}) = -\kappa_{env} \nabla_{\mathbf{r}=\mathbf{R}} [\delta T(\mathbf{r})] \quad (12)$$

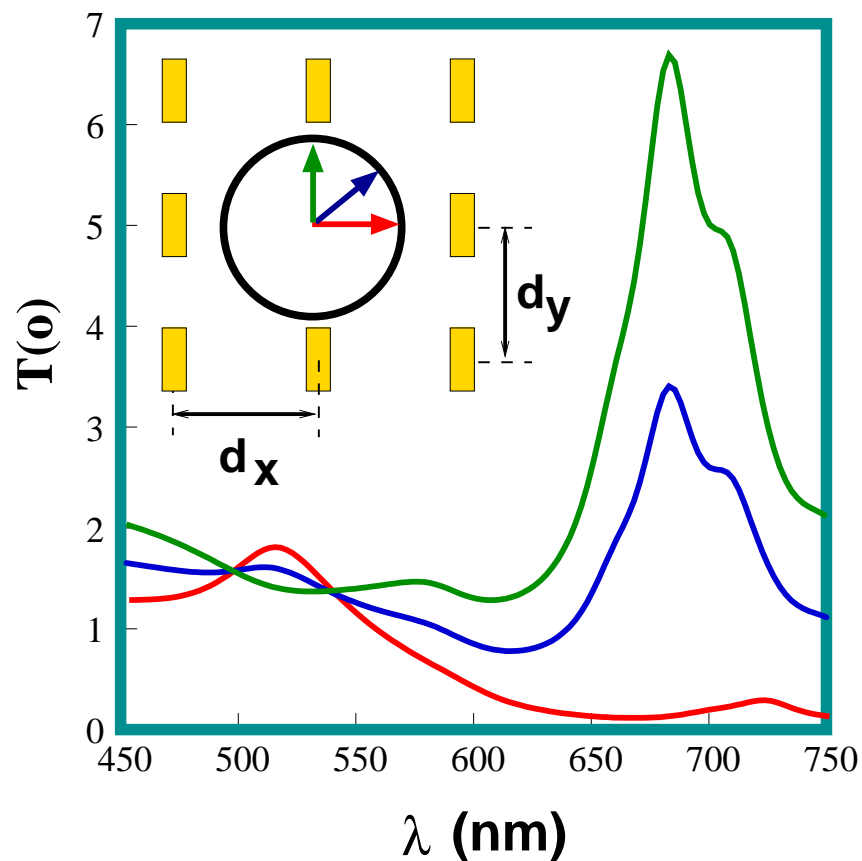
et

$$\Phi(\mathbf{R}_s) = -\kappa_{sub} \nabla_{\mathbf{r}=\mathbf{R}_s} [\delta T(\mathbf{r})] \quad (13)$$



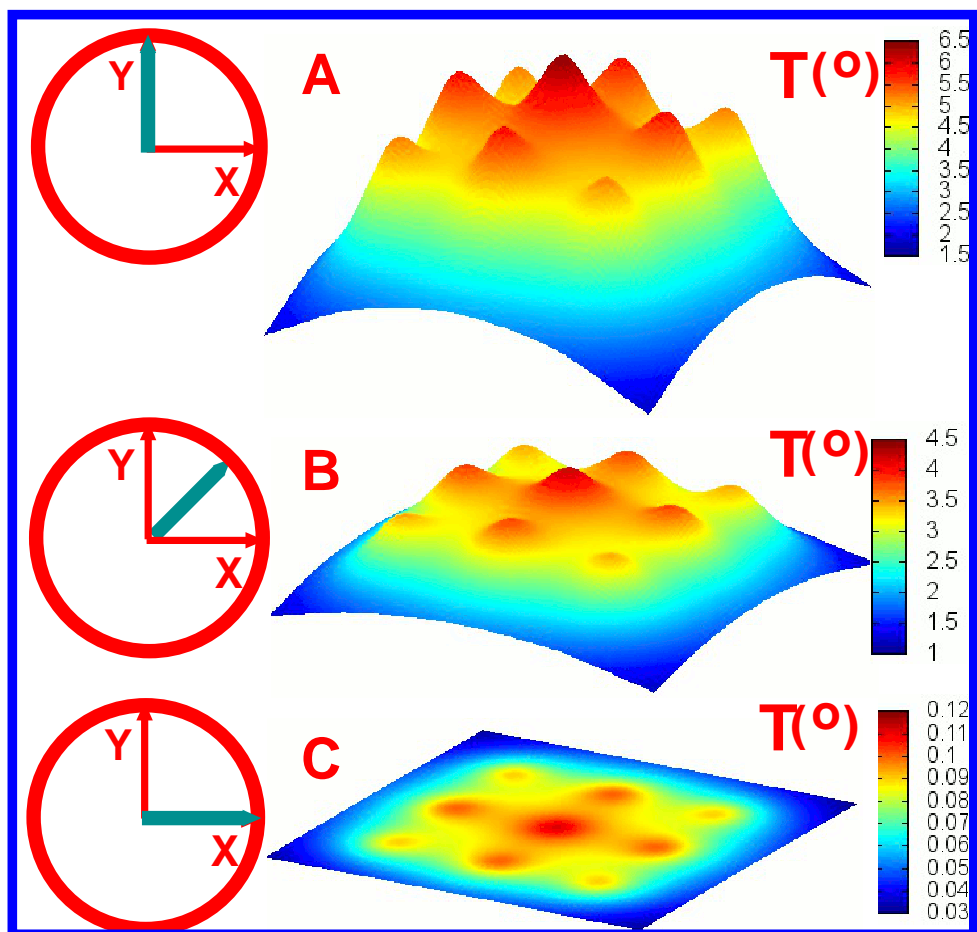
EXEMPLES D'APPLICATION
Arrangement de particules alongées
Métasurfaces

(A) Assemblée d'antennes parallèles :
 Variation spectrale de la température



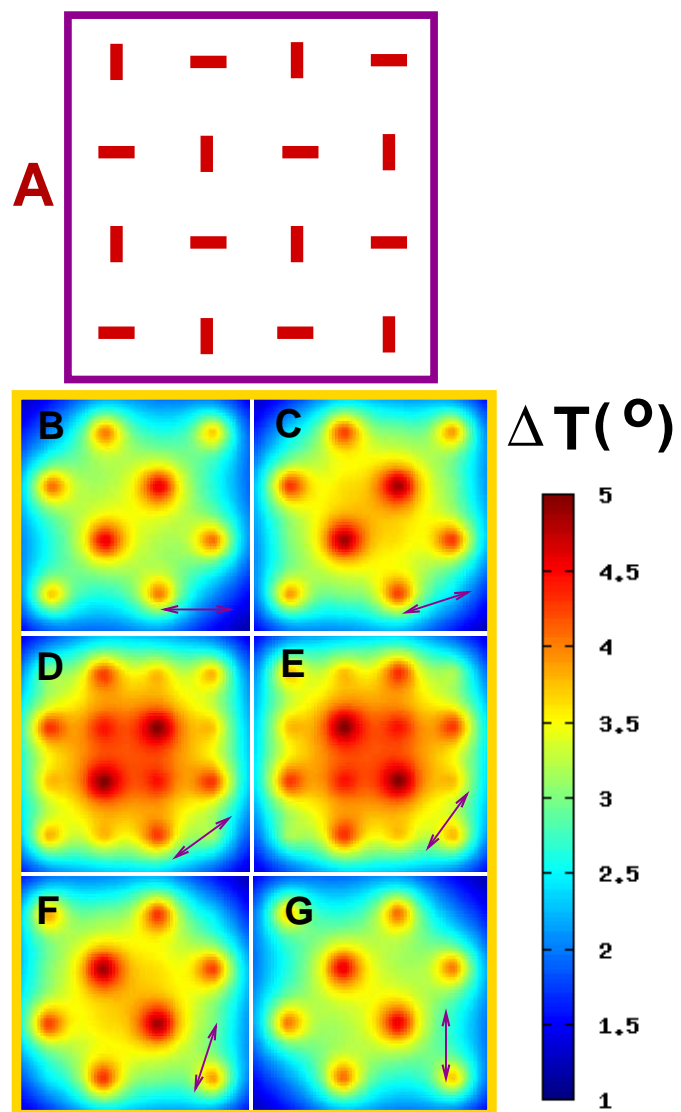
$$S_0 = 5 \text{ mW}/\mu\text{m}^2, d_x = d_y = 250 \text{ nm}.$$

Evolution de la carte de température en fonction de la polarisation incidente



$\lambda = 680 \text{ nm}$ (longueur d'onde longitudinale)

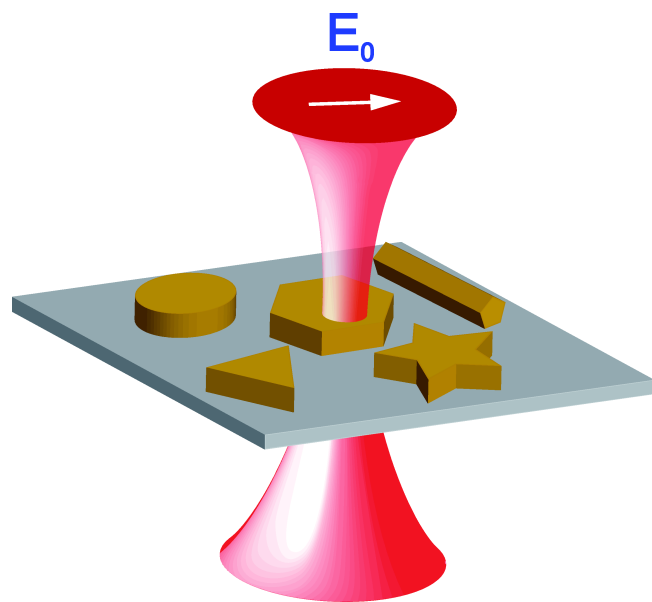
(B) Assemblée d'antennes antiparallèles :
Métrasurfaces thermoplasmoniques



$\lambda = 680 \text{ nm}$ (longueur d'onde longitudinale)

EXAMPLE D'APPLICATION

Imagerie avec un faisceau focalisé

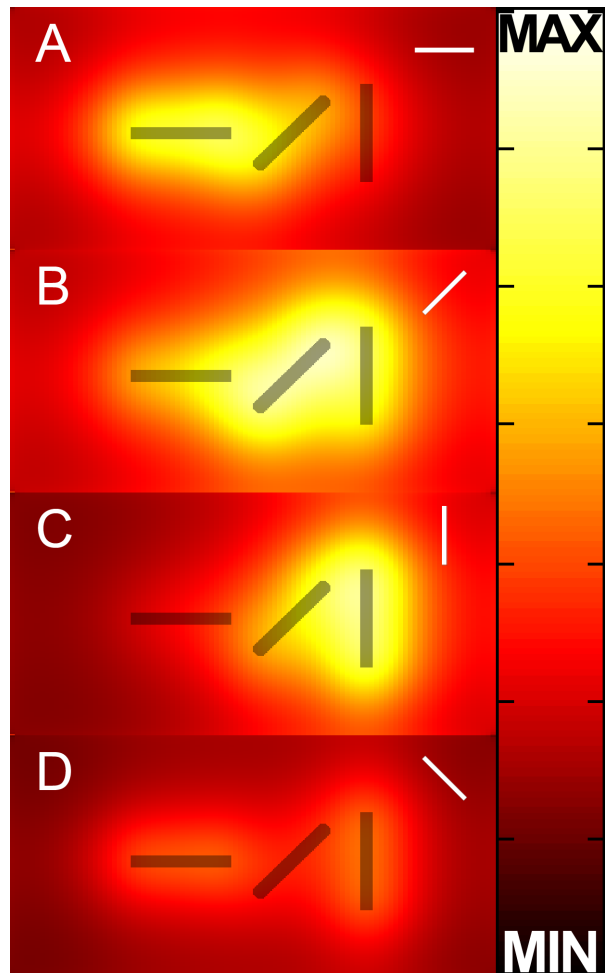


$$\mathbf{E}(\mathbf{R}_0, \mathbf{r}, \omega) = \int_{volume-metal} \mathcal{K}(\mathbf{r}, \mathbf{r}', \omega) \cdot \mathbf{E}_0(\mathbf{R}_0, \mathbf{r}, \omega) d\mathbf{r}'$$

$$Q(\mathbf{R}_0, \omega) = \frac{\omega \Im[\epsilon_m(\omega)]}{8\pi} \int_{volume-metal} |\mathbf{E}(\mathbf{R}_0, \mathbf{r}, \omega)|^2 d\mathbf{r}$$

Simulation de cartes de température par balayage du faisceau lumineux

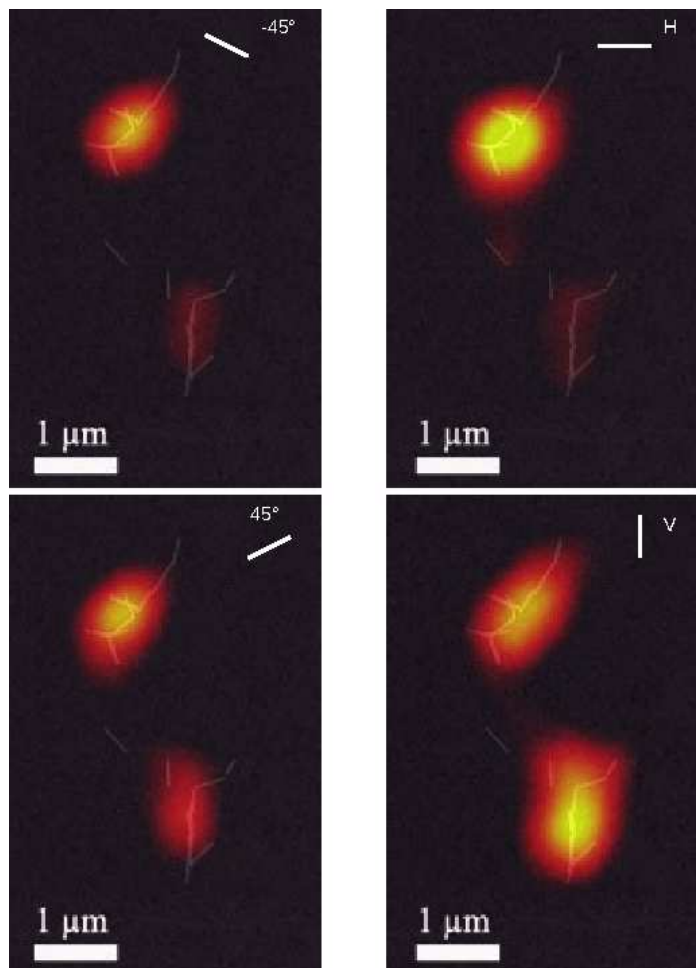
$$\Delta T(\mathbf{R}_0, \omega) = \frac{1}{4\pi\kappa_{env}} \int_V \frac{Q(\mathbf{R}_0, \mathbf{r}, \omega)}{|\mathbf{R}_0 - \mathbf{r}|} d\mathbf{r}$$



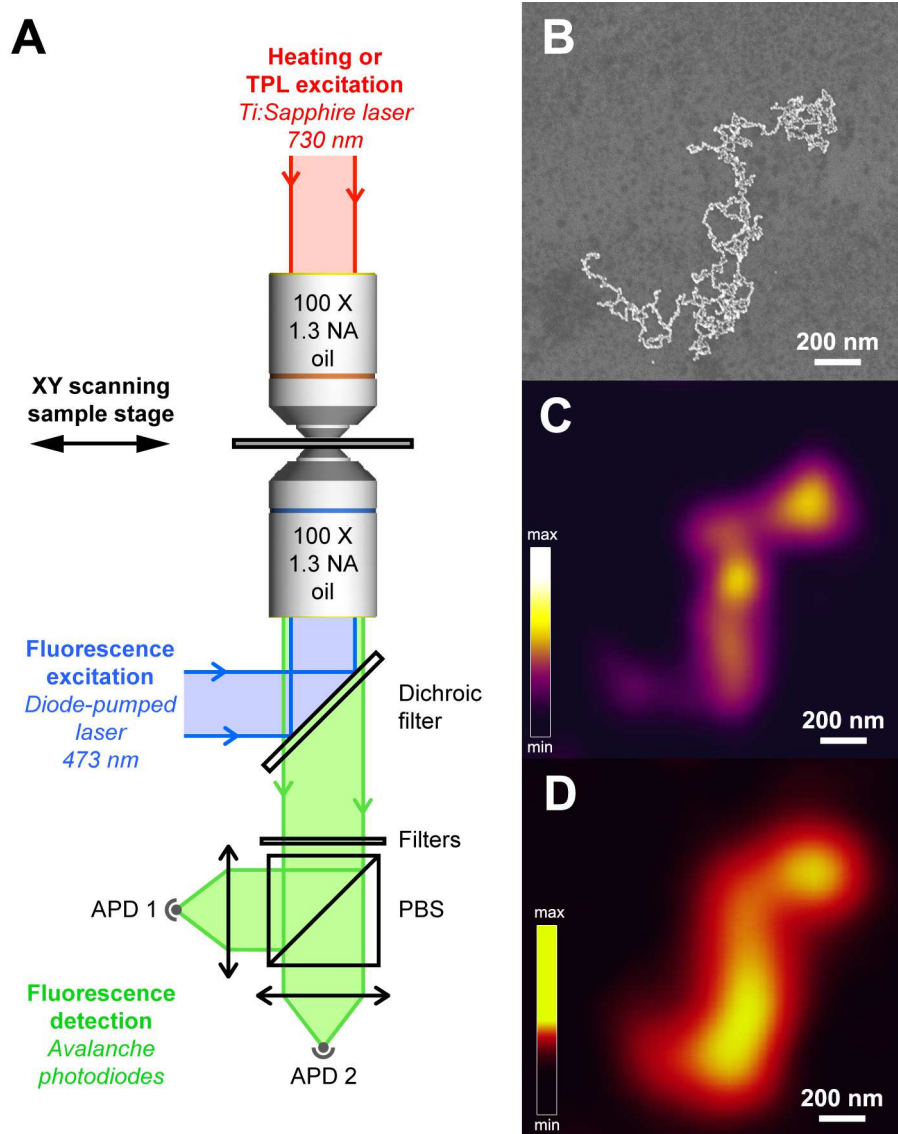
($\lambda = 730$ nm, dimension : 400×30 nm.)

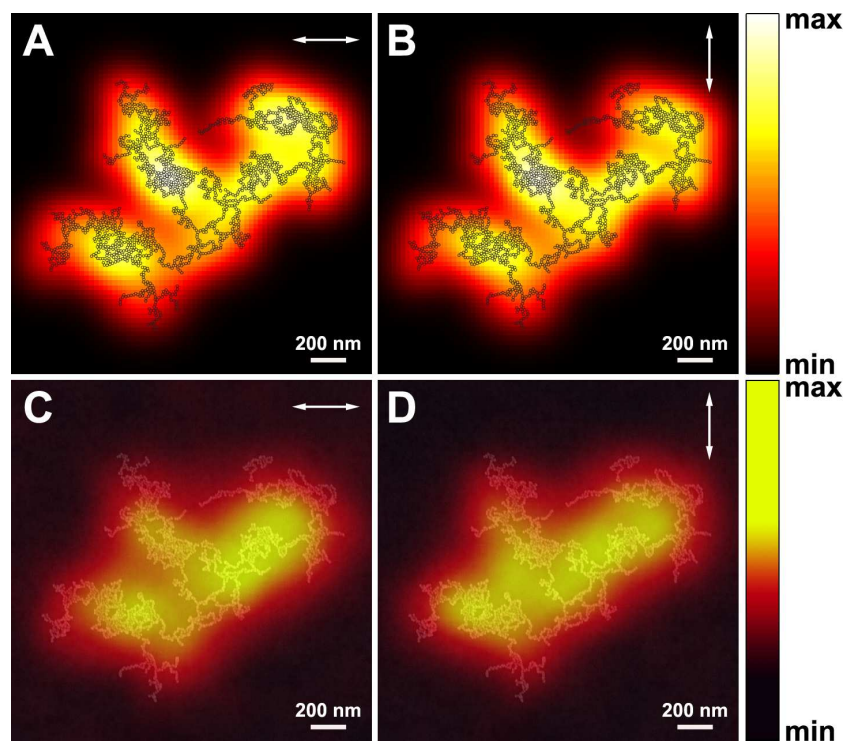
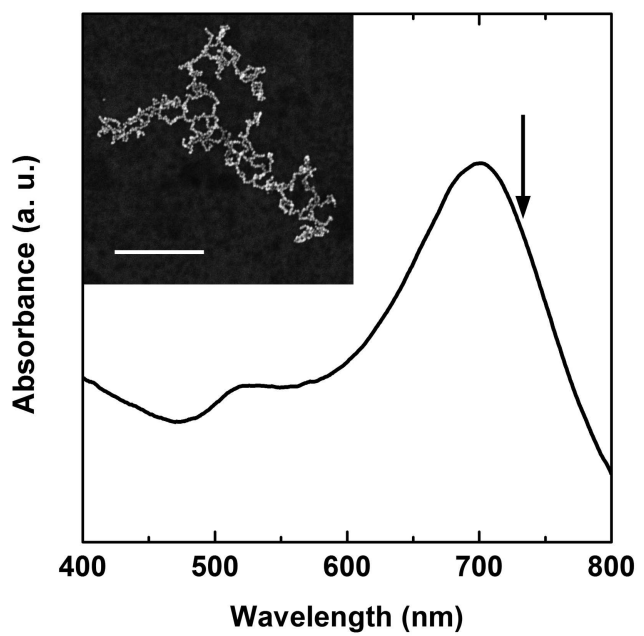
EXPERIENCES FPA
(fluorescence polarisation anisotropy)
collaboration CEMES ICFO

Images FPA de nano–batonnets d'or²

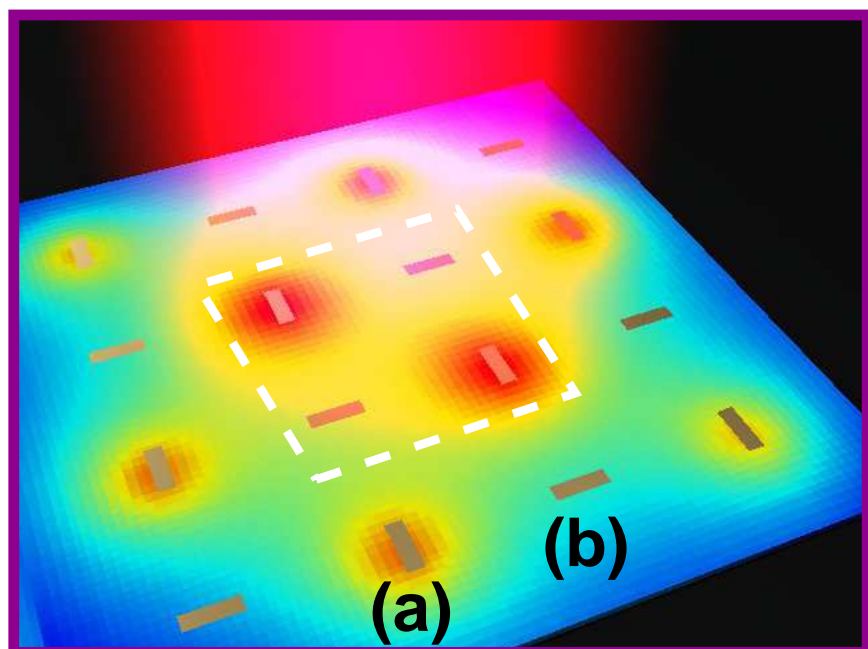


Images FPA de chaines de nanoparticules d'or
collaboration CEMES ICFO





Relation entre SP-LDOS et Chaleur Déposée par le Faisceau Lumineux

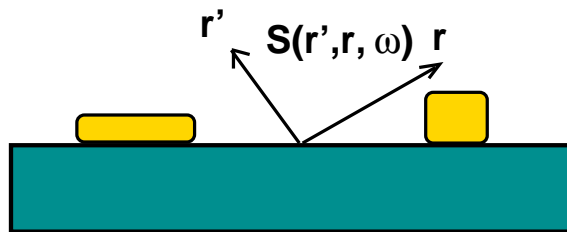


Concept de SP–LDOS en géométrie planaire

A) PHOTONIQUE LDOS : DEFINITION

$$\rho(\mathbf{r}, \omega) = \sum_n |\mathcal{E}(\mathbf{r}, \omega_n)|^2 \delta(\omega_n - \omega).$$

Cette quantité scalaire peut être exprimée à partir de la fonction de Green du système \mathcal{S} :

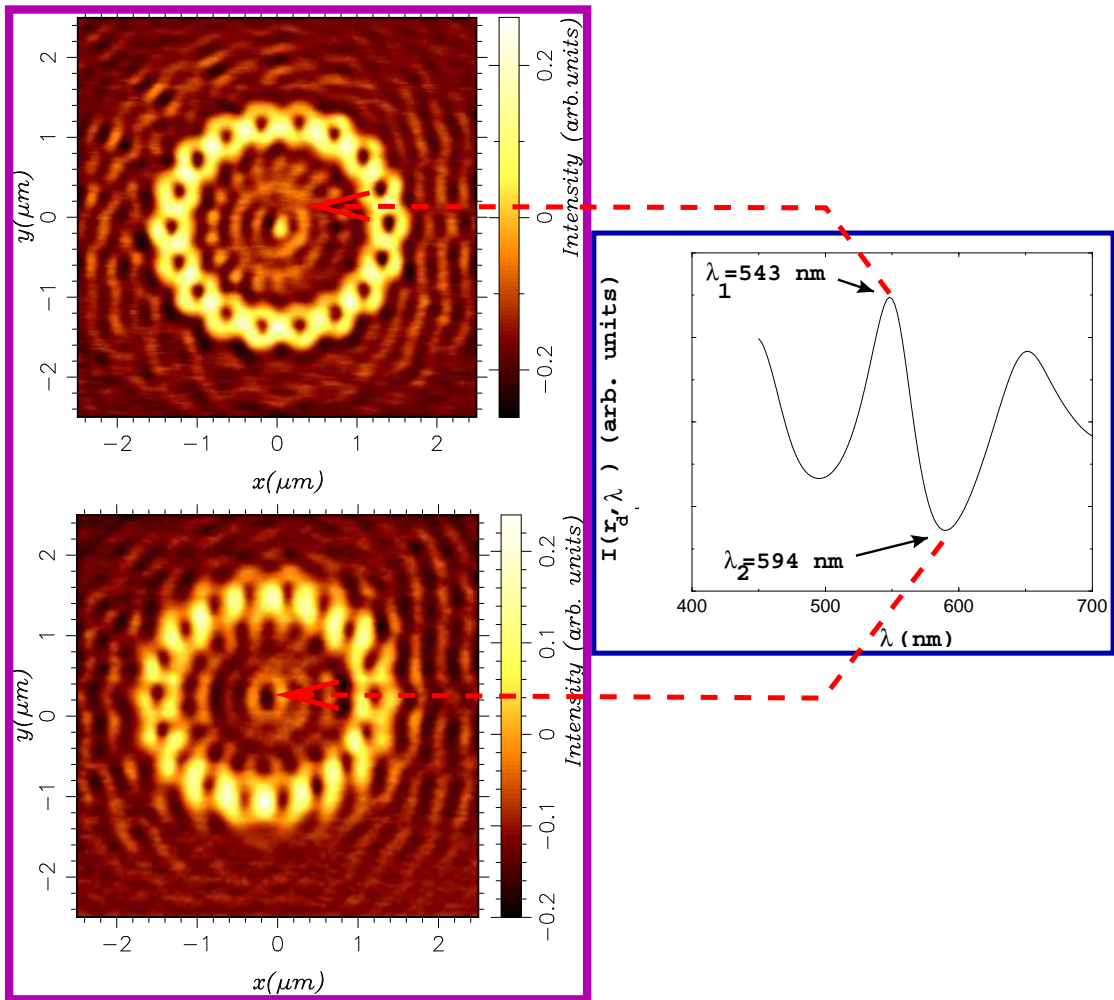


$$\rho(\mathbf{r}, \omega) = \sum_{\alpha=x,y,z} \rho_{\alpha}(\mathbf{r}, \omega)$$

$\rho_{\alpha}(\mathbf{r}, \omega)$ définissent trois LDOS partielles pour $\alpha = x, y$, ou z .

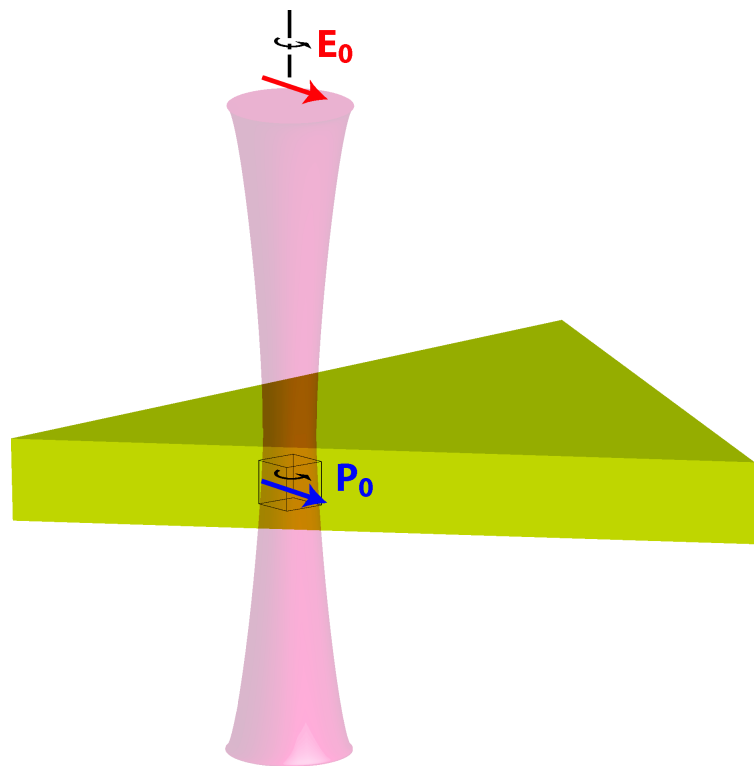
$$\rho_{\alpha}(\mathbf{r}, \omega) = \frac{1}{2\pi^2\omega} \operatorname{Im} \mathcal{S}_{\alpha\alpha}(\mathbf{r}, \mathbf{r}, \omega). \quad (14)$$

B) LDOS PHOTONIQUE EXEMPLE DE MESURE AVEC UN SNOM



Imaging the local density of states of optical corrals
 Phys. Rev. Lett. 88 097402-4 (2002)

C) TECHNIQUE DE CALCUL DE LA SP-LDOS DANS DES NANO-STRUCTURES



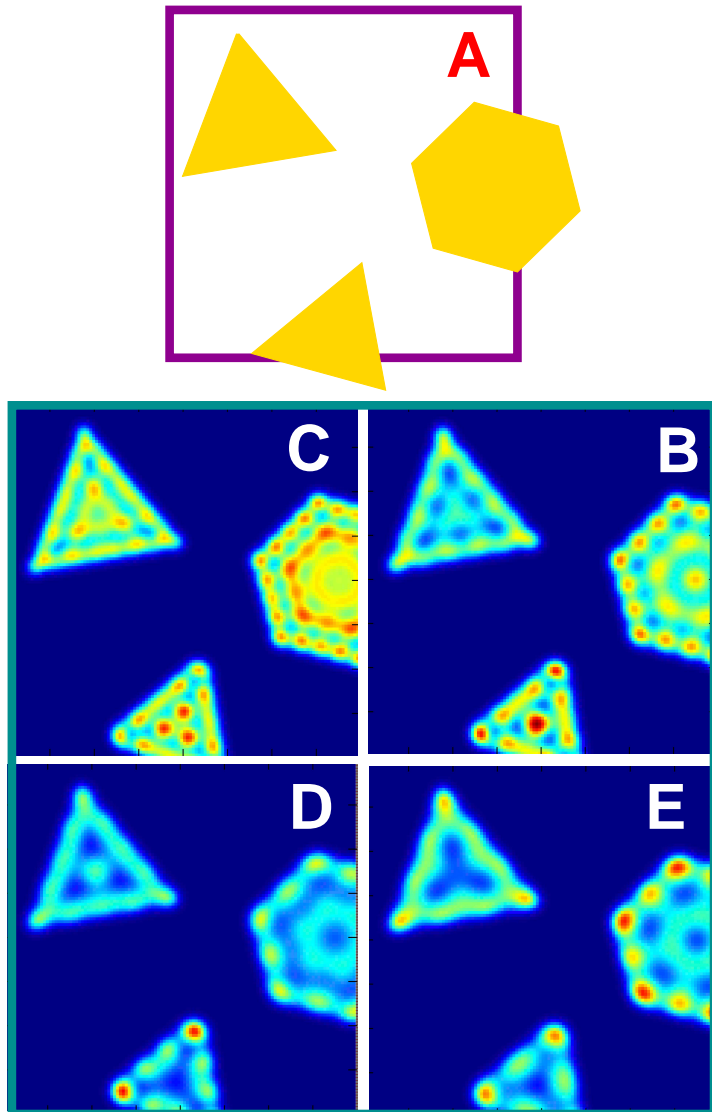
$$\rho_\alpha(\mathbf{r}_0, \omega_0) = A(\omega_0) \frac{|\mathbf{E}_\alpha(\mathbf{r}_0, \omega_0)|^2}{|\mathbf{E}_0(\mathbf{R}_0)|^2}$$

avec

$$A(\omega_0) = \frac{1}{3} \rho_0(\omega_0)$$

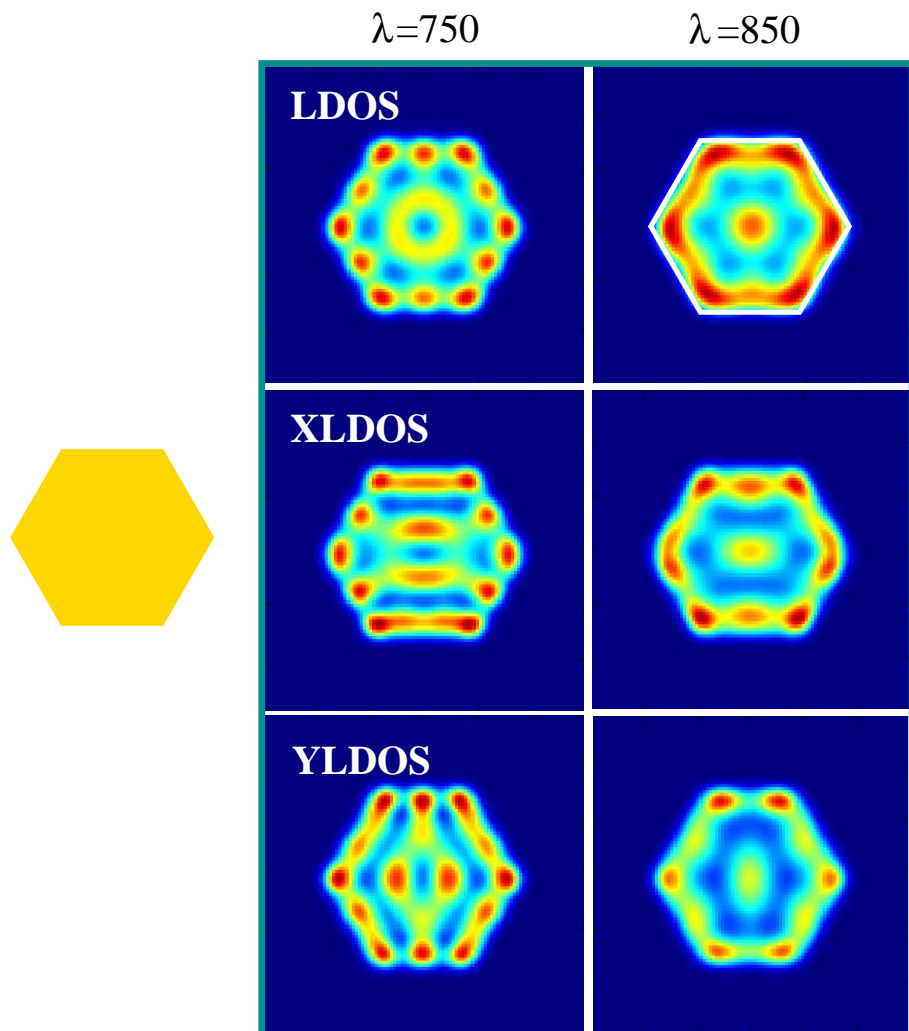
D) APPLICATION A UNE ASSEMBLEE DE MICRO-PLAQUETTES D'OR

$$\rho_{\parallel}(\mathbf{r}_0, \omega_0) = \rho_x(\mathbf{r}_0, \omega_0) + \rho_y(\mathbf{r}_0, \omega_0)$$



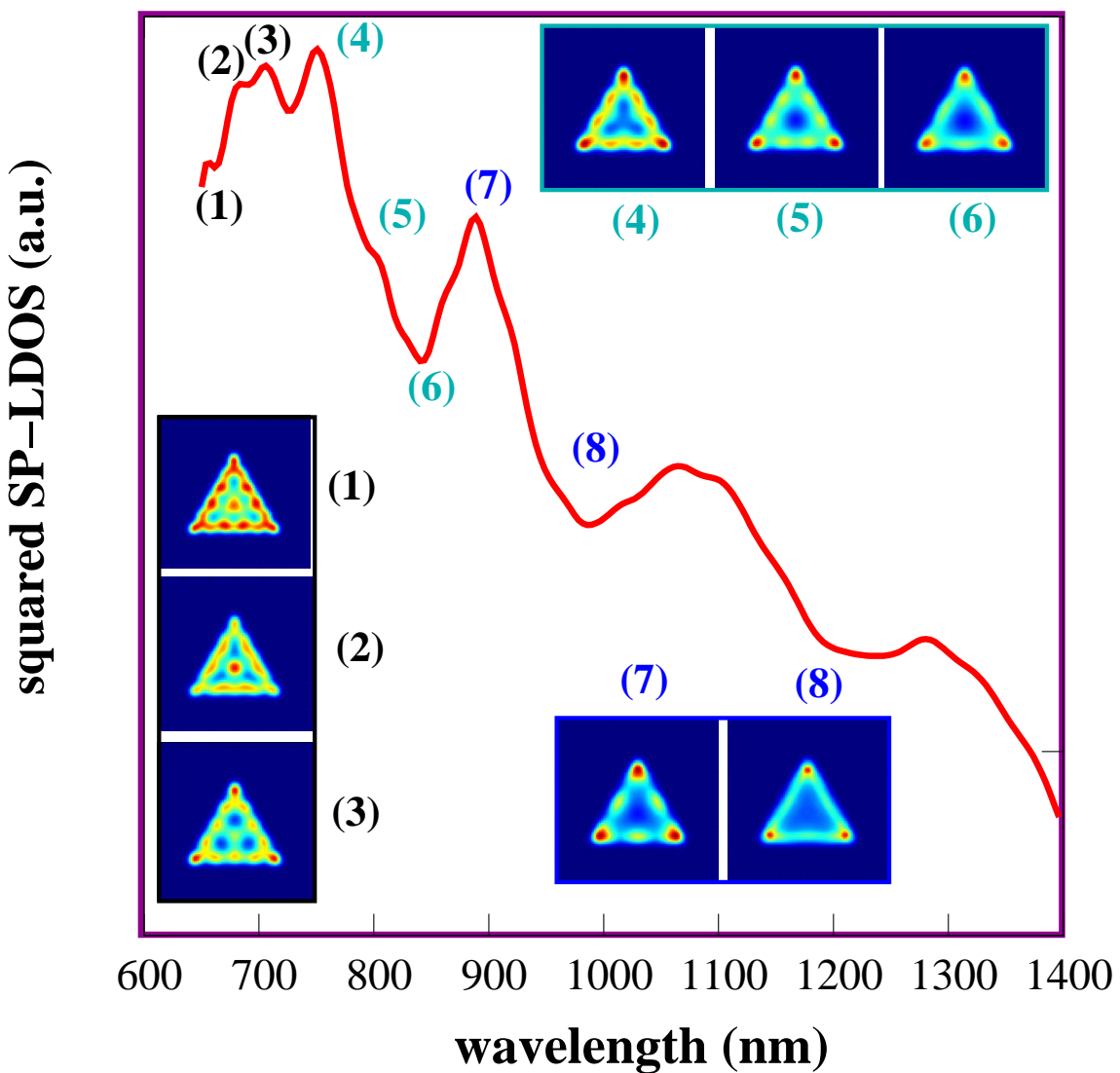
E) SP-LDOS PARTIELLE
D'UNE MICRO-PLAQUETTE D'OR

$$\rho_\alpha(\mathbf{r}_0, \omega_0)$$



F) SPECTROSCOPIE LOCALE D'UNE MICRO-PLAQUETTE D'OR

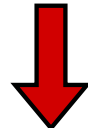
$$\rho_{\parallel}(\mathbf{r}_0, \omega_0) = \rho_x(\mathbf{r}_0, \omega_0) + \rho_y(\mathbf{r}_0, \omega_0)$$



Chaleur déposée et SP–LDOS en géométrie planaire

$$Q(\mathbf{R}_0, \omega) = \frac{\omega \Im[\epsilon_m(\omega)]}{8\pi} \int_{volume-metal} |\mathbf{E}(\mathbf{R}_0, \mathbf{r}, \omega)|^2 d\mathbf{r}$$

Si le champ incident $\mathbf{E}_0(\mathbf{R}_0, \mathbf{r}, \omega)$ est polarisé selon (x, y ou z)

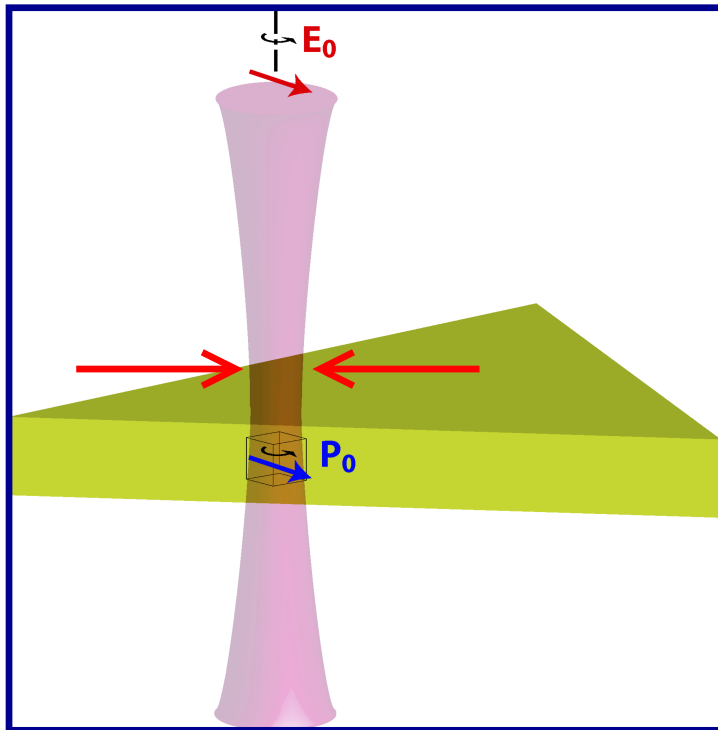


L'intensité du champ local peut être reliée à la SP–LDOS

$$|\mathbf{E}(\mathbf{R}_0, \mathbf{r}, \omega)|^2 = \frac{3\pi^2 c^3}{\omega^2} \rho_\alpha(\mathbf{r}, \omega) |\mathbf{E}_0(\mathbf{R}_0, \mathbf{r}, \omega)|^2$$



$$Q(\mathbf{R}_0, \omega) = \frac{3\pi^2 c^3}{8\omega} \Im[\epsilon_m(\omega)] \int_{vm} \rho_\alpha(\mathbf{r}, \omega) |\mathbf{E}_0(\mathbf{R}_0, \mathbf{r}, \omega)|^2 d\mathbf{r}$$



A ce niveau, la réduction spatiale de la zone active du faisceau laser peut s'exprimer par une distribution de Dirac :

$$\left| \mathbf{E}_0^{(\alpha)}(\mathbf{R}_0, \mathbf{r}, \omega_0) \right|^2 \simeq \left| \mathbf{e}_0^{(\alpha)} \right|^2 \delta(\mathbf{r} - \mathbf{R}_0), \quad (15)$$

dans laquelle le vecteur $\mathbf{e}_0^{(\alpha)}$ définit la direction de polarisation.

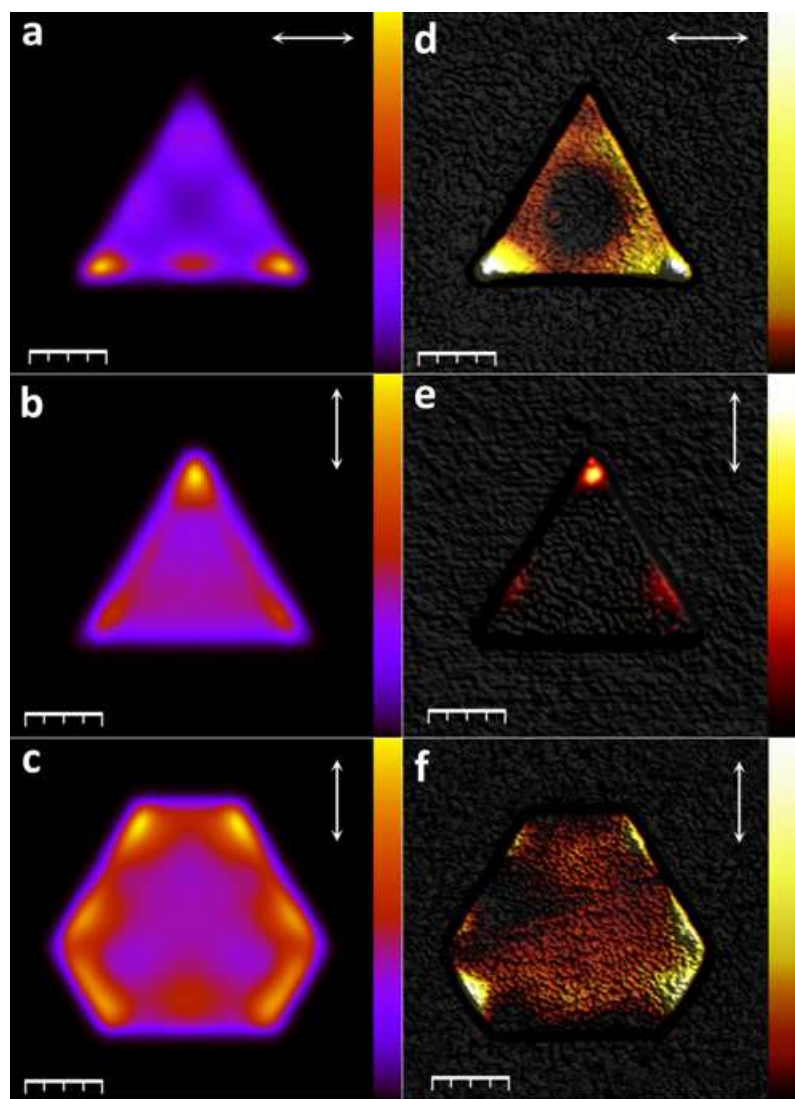
Dans ce cas, la chaleur déposée par le spot :

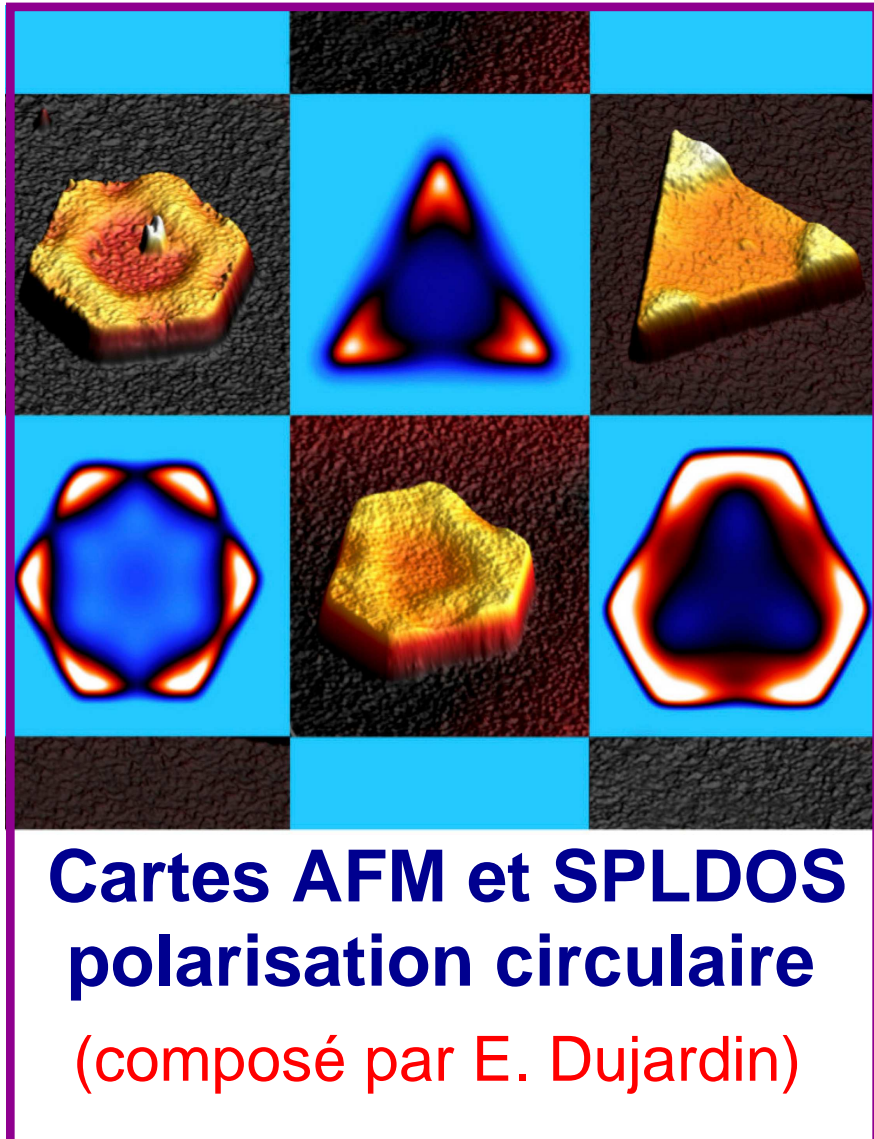
$$Q(\mathbf{R}_0, \omega_0) = \frac{3\pi c^3}{8\omega_0} \epsilon_m''(\omega_0) \left| \mathbf{e}_0^{(\alpha)} \right|^2 \rho_\alpha(\mathbf{R}_0, \omega_0), \quad (16)$$

devient strictement proportionnelle à la SP-LDOS projetée sur la direction de polarisation.

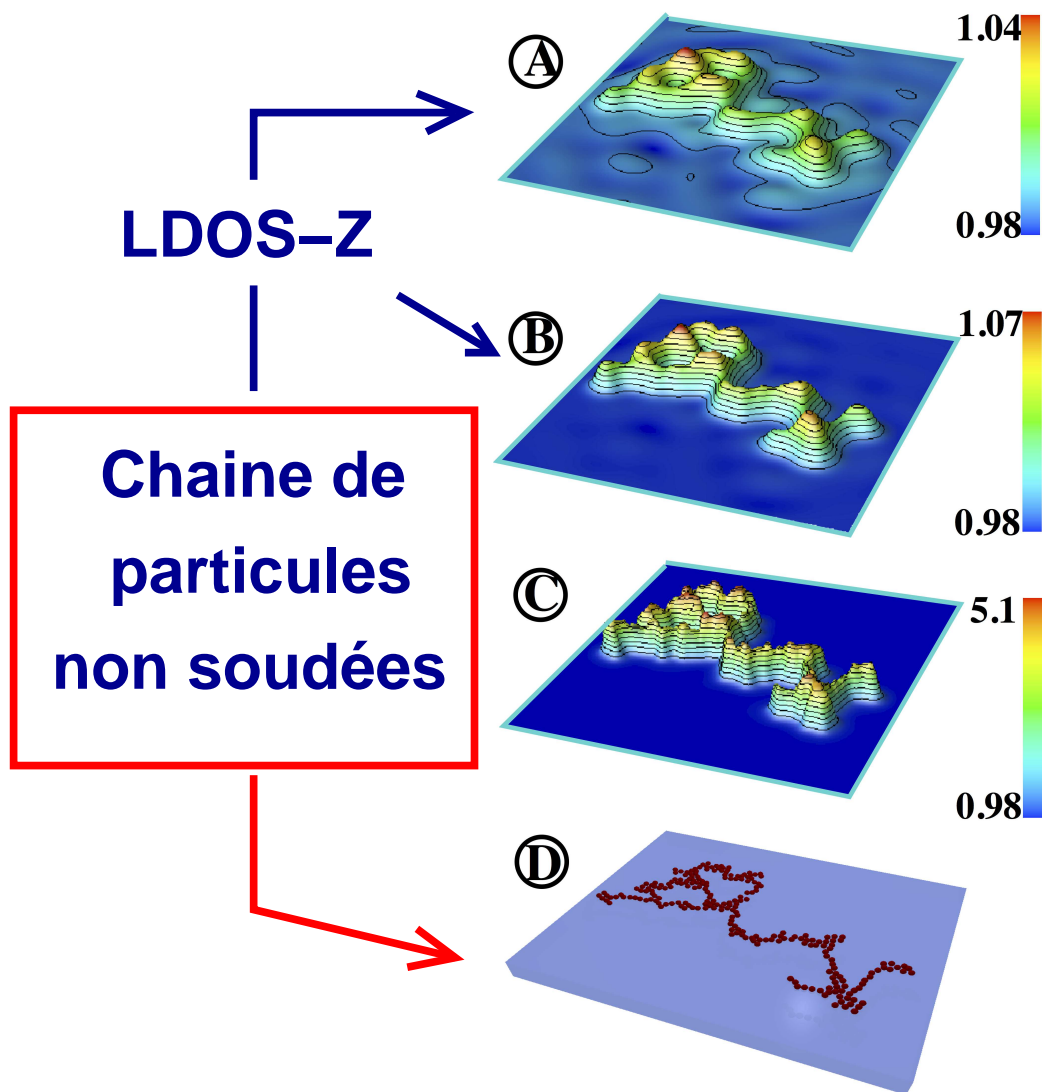
Expérience avec un laser FEMTO

S. VIARBITSKYA, A. CUCHE
A. ARBOUET, J. SHARMA ET E. DUJARDIN

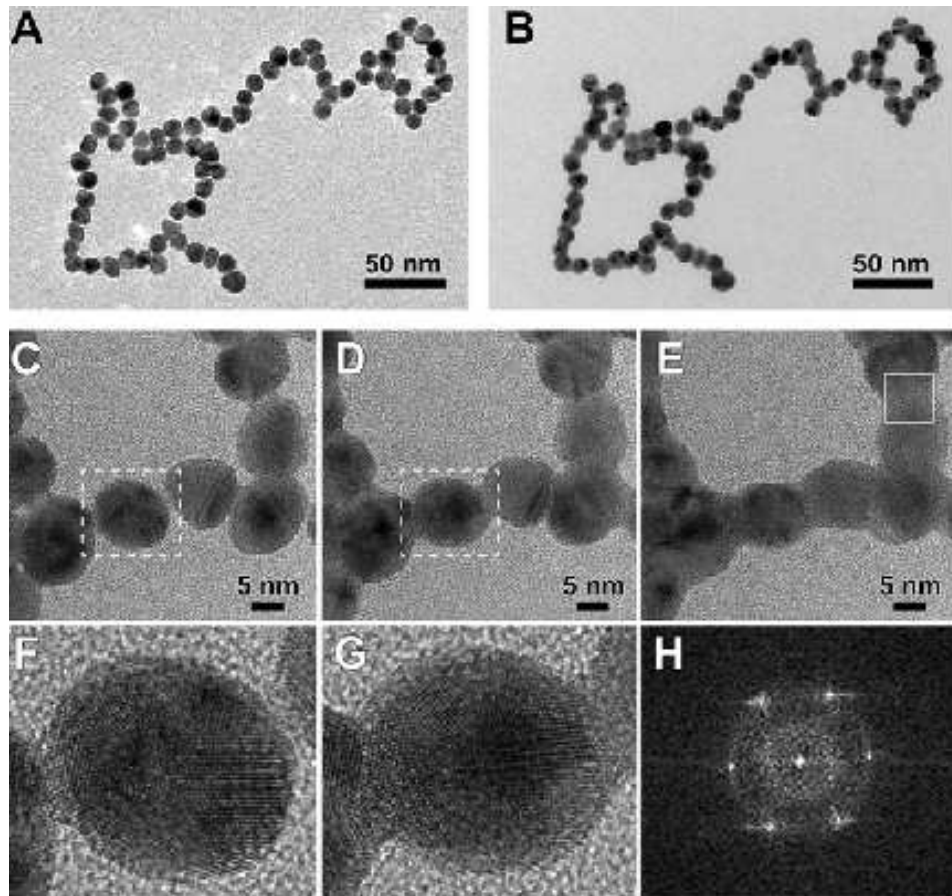




Modification morphologique :
Fusion locale et structure modale
de chaines de particules d'or



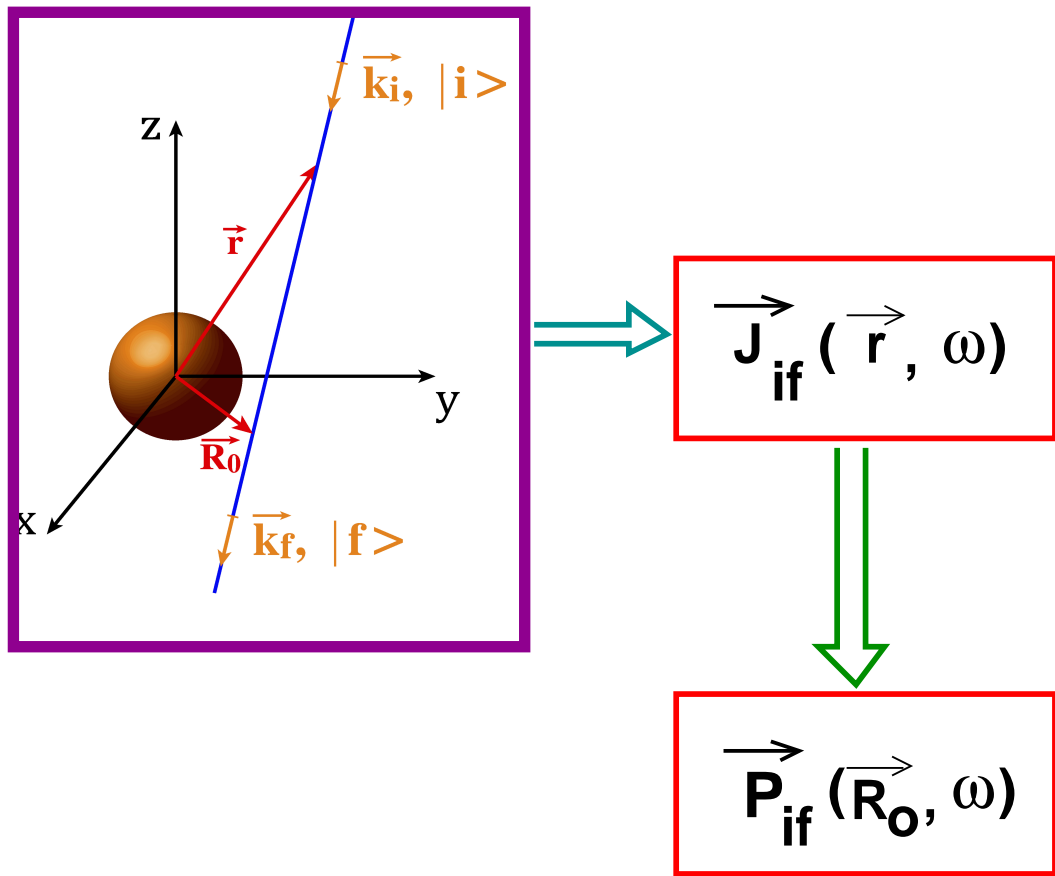
SOUDURES LOCALISEES DE CHAINES DE PARTICULES D'OR EXPOSEES A UN FAISCEAU D'ELECTRONS



Structures synthétisées au CEMES par chimie colloïdale : Erik Dujardin et Gurunathan Kargal
Images enregistrées à IMRE de Singapour par Michel Bosman et Alexandre Teulle

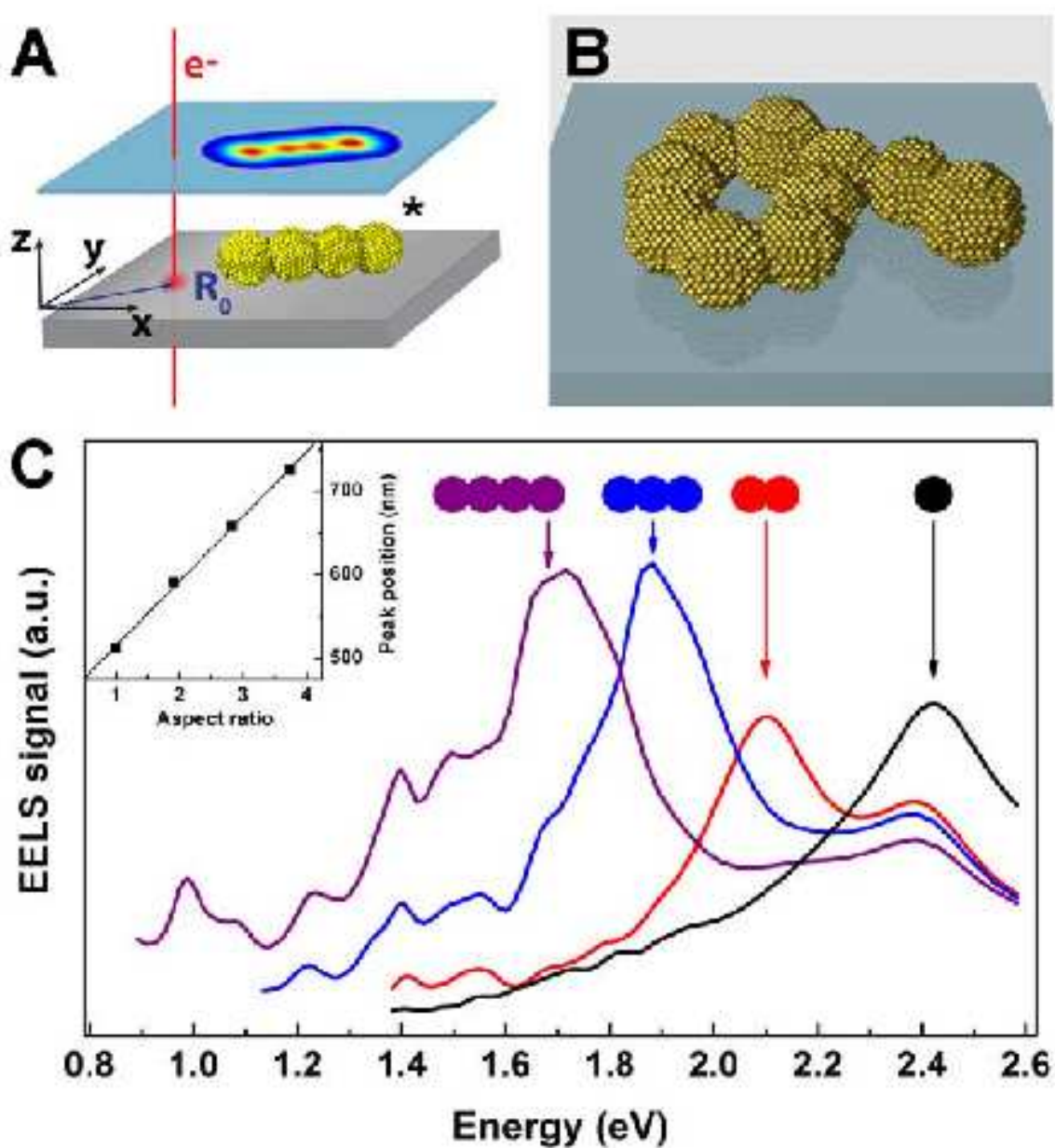
THEORIE DES PERTES D'ENERGIE AU VOISINAGE DE PARTICULES D'OR SOUDEES

Principe de la méthode

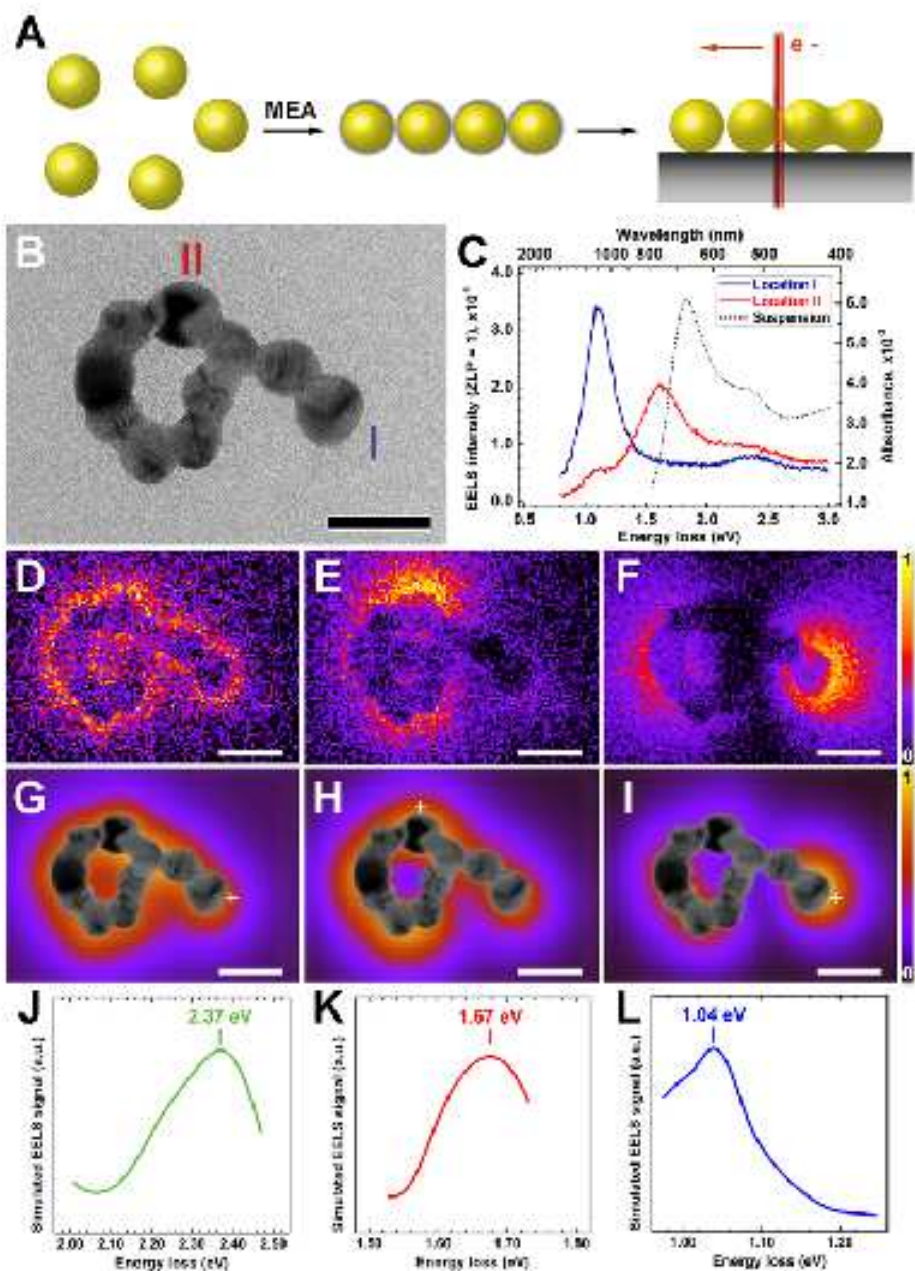


TAUX DE PERTE

$$\Delta E_{EELS}(\omega_0) = \frac{e^2 \hbar^2 \mathcal{A}^2}{8m^2\omega_0} \Im\{\mathbf{S}_{zz}(\mathbf{R}_0, \mathbf{R}_0, \omega_0)\}, \quad (17)$$



CAS D'UNE NANOBOUTEILLE DE PARTICULES D'OR SOUDEES³

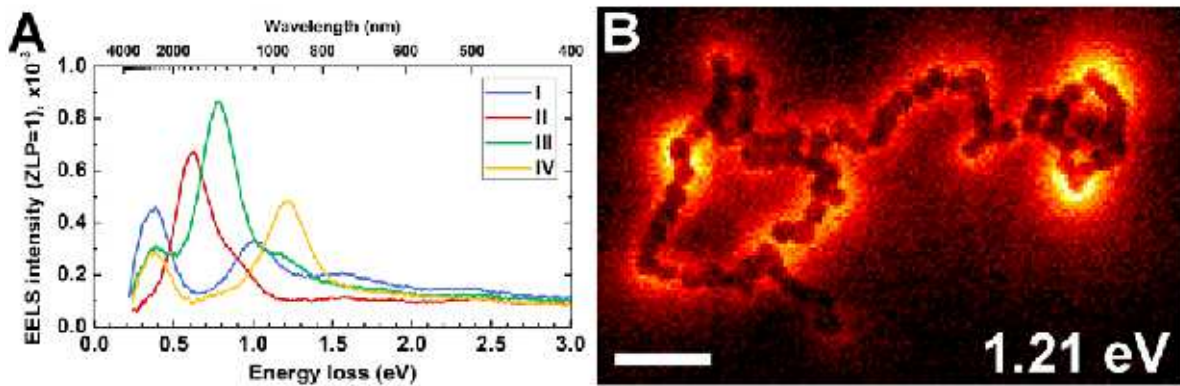


³Les signaux EELS ont été mesurés à l'IMRE de Singapour (Michel Bosman).

CONCLUSIONS

- L'énergie dissipée par effet Joule, à partir d'un faisceau laser, dans le métal d'une nanostructure plasmonique permet de :
 - (1) créer des nanosources de chaleur accordables en polarisation et en longueur d'onde.
 - (2) ou de << *photographier* >>, dans le cas de systèmes planaires, la carte de densité d'états des plasmons à une longueur d'onde choisie.

- Ce même type de dépôt d'énergie, lorsqu'il est effectué avec un mince faisceau d'électrons accélérés, peut conduire à une fusion locale suivie d'un soudage *bord à bord* des particules de métal. Dans le cas de chaînes de particules d'or, on obtient alors des structures plasmoniques multimodales présentant des signatures spectrales qui s'étendent du visible à l'infrarouge.



Références bibliographiques

- (1) A. O. Govorov, W. Zhang, T. Skeini, H. H. Richardson, J. Lee, and N. A. Kotov, *Nanoscale Res. Lett.* **1**, 84 (2006).
- (2) A. O. Govorov and H. H. Richardson, *Nanotoday* **2**, 30 (2007).
- (3) H. H. Richardson, M. T. Carlson, P. J. Tandler, P. Hernandez, and A. O. Govorov, *NanoLetters*, **9**, 1139 (2009).
- (4) G. Baffou and R. Quidant, *Laser Photonics Rev.* **7**, 171 (2013)
- (5) G. Baffou, R. Quidant, and Ch. Girard, *Appl. Phys. Lett.*, **94**, 153109 (2009).
- (6) G. Baffou, M. P. Kreuzer , F. Kulzer , and R. Quidant, *Optics Express*, **17**, 3291 (2009).
- (7) Ch. Girard, E. Dujardin, G. Baffou, and R. Quidant, *New Journal of Physics*, **10**, 105016 (2008).
- (8) *Plasmonic Nanoparticle Networks*, Erik Dujardin and Christian Girard, “Handbook of Nanophysics” (K. Sattler, ed.), Taylor & Francis, London 2010, Chapter 27.

- (9) Plasmonic Gold Nanocrosses with Multidirectional Excitation and Strong Photothermal Effect Enyi Ye, Khin Yin Win, Hui Ru Tan, Ming Lin, Choon Peng Teng, Adnen Mlayah and Ming-Yong Han J. Am. Chem. Soc., **133**, 8506 (2011).
- (10) G. Baffou, P. Berto, E. Bermudez Urena, R. Quidant, S. Monneret, J. Polleux, and H. Rigneault, ACS Nano, **7**, 6478 (2013).
- (11) M. Essone Mezeme and C Brosseau, Phys. Rev. E **87**, 012722 (2013).
- (12) Plasmonic Hot Printing in Gold Nanoprisms, Sviatlana Viarbitskaya, Aurélien Cuche, Alexandre Teulle, Jadab Sharma, Christian Girard, Arnaud Arbouet, and Erik Dujardin. ACS-Photonics, **2**, 744-751 (2015),
- (13) Multimodal plasmonics in fused colloidal networks, Alexandre Teulle, Michel Bosman, Christian Girard, Kargal L. Gurunatha, Mei Li, Stephen Mann and Erik Dujardin, Nature Materials, **14**, 87–94 (2015),
- (14) Electron energy losses and cathodoluminescence from complex plasmonic nanostructures: spectra, maps and radiation patterns from a generalized field propagator, Arnaud Arbouet, Adnen Mlayah, Christian Girard, and Gérard Colas des Francs, New Journal of Physics, **16**, 113012–14 (2014).